ՀԱՅԿԱԿԱՆ ՍՈՌ ԳԻՏՈՒԹՅՈՒՆՆԵՐԻ ԱԿԱԳԵՄԻԱՅԻ ՏԵՂԵԿԱԳԻՐ известия академии наук армянской сср

5-раруп-ишрыйшт, артпертиййы XII. № 2, 1959 Физико-математические науки

теория упругости

Н. О. Гулканян

О центре изгиба призматических стержней прямоугольного сечения с несимметричным прямоугольным вырезом

Задача поперечного изгиба призматического стержия угольного сечения с симметрично расположенным прямоугольным вырезом была решена Б. Л. Абрамяном [1].

В данной работе рассматривается задача об изгибе призматического стержня прямоугольного поперечного сечения с прямоугольным эксцентрично расположенным отверстием. Задача решается введением вспомогательных функций [2], сводящих задачу к решению бесконечных систем линейных уравнений. Доказывается вполне регулярность этих систем. Даются формулы для определения напряжений и координаты центра изгиба. Приведен числовой пример определения координаты центра изгиба и напряжений для призматических стержней квадратного поперечного сечения с несимметричным квадратным вырезом.

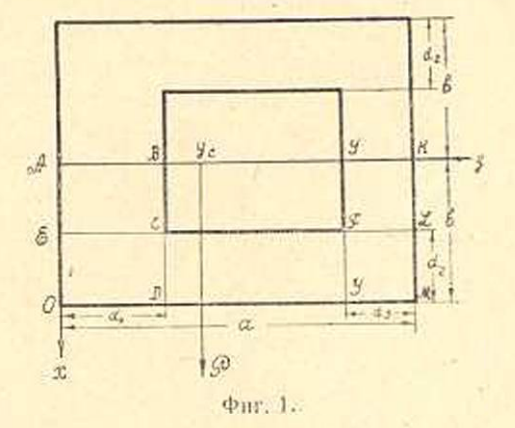
§ 1. Постановка задачи

Пусть внешняя изгибающая сила Р приложена на свободном. конце стержня параллельно оси х (фиг. 1) и проходит через центр

изгиба, т. е. изгиб не сопровождается кручением. Функция напряжений при изгибе F(x, y)внутри области поперечного сечения удовлетворяет следующему уравнению [3]:

$$\nabla^{2} F(x, y) = \frac{P_{Y}(y - y_{0})}{I(1 + y)} - \frac{P}{2I} f'(y), \qquad (1)$$

где у - координата центра тяжести сечения, І — осевой момент



инерции поперечного сечения относительно оси "y*, f(y) — произ-

вольная функция, у - коэффициент Пуассона.

Для двухсвязных областей на внешнем и внутреннем контурах должно выполняться условие:

$$\frac{\partial F}{\partial s} = \frac{P}{2I} \left[x^2 - f(y) \right] \frac{dy}{ds}.$$
 (2)

Положим

$$f(y) = b^{z}. (3)$$

Тогда уравнения (1) и (2) примут вид:

$$\nabla^{2} F(x, y) = \frac{P_{V}(y - y_{0})}{I(1 + v)}, \tag{4}$$

$$\frac{\partial F}{\partial s} = \frac{P}{2I} (x^2 - b^2) \frac{dy}{ds}.$$
 (5)

В силу симметричности области поперечного сечения относительно оси у решение ищем только в области AKMOA. Чтобы распространить решение на всю область сечения, требуем, чтобы на оси симметрии x = 0

$$\frac{\partial F(x, y)}{\partial x} = 0. (6)$$

Из граничного условия (5) следует

$$\frac{\partial F(x,y)}{\partial y}\bigg|_{x=b} = 0, \qquad \frac{\partial F(x,y)}{\partial x}\bigg|_{y=0} = 0, \qquad \frac{\partial F(x,y)}{\partial x}\bigg|_{y=a} = 0,$$

т. е. на внешнем контуре F(x, y) = C. Эту постоянную C примем равной нулю. Тогда будем иметь

$$F(b, y) = F(x, 0) = F(x, a) = 0.$$
 (7)

На внутреннем контуре:

$$\frac{\partial F(x, y)}{\partial x}\Big|_{y=d_1} = 0, \qquad \frac{\partial F(x, y)}{\partial x}\Big|_{y=a-d_2} = 0,$$

$$\frac{\partial F(x, y)}{\partial y}\Big|_{x=b-d_2} = \frac{Pd_2}{2I}(d_2 - 2b).$$
(8)

Для непрерывности значения функции F(x, y) на внутреннем контуре положим

$$F(x, d_1) = C_0, \quad F(b - d_2, y) = C_0 + \frac{Pd_2}{2I} (d_2 - 2b) (y - d_1)$$

11

$$F(x, a - d_3) = C_0 + \frac{Pd_2}{2I} (d_2 - 2b) (a - d_3 - d_1). \tag{9}$$

Значение постоянной C_0 определяется из теоремы Лейбензона о циркуляции касательного напряжения [3].

1

Пусть

$$F(x, y) = \begin{cases} F_1(x, y) & \text{внутри области } OABDO; \\ F_2(x, y) & , & OELMO; \\ F_3(x, y) & , & IKMGI. \end{cases}$$
 (10)

При решении задачи введем вспомогательные функции (2), т. е. решение будем искать в виде:

$$F_{1}(x, y) = \Psi_{1}(x, y) + \begin{cases} 0 & \text{в области } AECBA; \\ \Phi_{1}(x, y) & \text{# OECDO}; \end{cases}$$

$$F_{2}(x, y) = \Psi_{2}(x, y) + \begin{cases} 0 & \text{# CDGFC}; \\ \Phi_{2}(x, y) & \text{# OECDO}; \\ \Phi_{4}(x, y) & \text{# GFLMG}; \end{cases}$$

$$F_{3}(x, y) = \Psi_{3}(x, y) + \begin{cases} 0 & \text{# FIKLF}; \\ \Phi_{3}(x, y) & \text{# GFLMG}. \end{cases}$$

Вспомогательные функции $\Phi_i(x, y)$ (i = 1, 2, 3, 4) выбираем так, чтобы внутри областей, где они существуют, удолетворяли уравнению Лапласа, т. е.

$$\nabla^2 F_i(x, y) = 0 \quad (i = 1, 2, 3, 4).$$
 (12)

Тогда функции $\Psi_i(x, y)$ (i = 1, 2, 3) согласно (4) будут удовлетворять уравнению Пуассона

$$\nabla^{2}\Psi_{I}(x, y) = \frac{P_{Y}(y - y_{0})}{I(1 + y)}.$$
(13)

Из условий (6)—(9) на основании (10) и (11) получим следующие граничные условия для функций $\Phi_i(x, y)$ и $\Psi_i(x, y)$:

$$\begin{split} \Psi_{1}(x,0) &= \frac{\partial \Psi_{1}}{\partial x} \Big|_{x=0} = \Psi_{1}(b,y) + \Phi_{1}(b,y) = \Phi_{1}(x,0) = \Psi_{2}(b,y) = \\ &= \Psi_{2}(x,0) + \Phi_{2}(x,0) = \Psi_{2}(x,a) + \Phi_{4}(x,a) = \Phi_{2}(b,y) = \\ &= \Phi_{4}(b,y) = \frac{\partial \Psi_{3}}{\partial x} \Big|_{x=0} = \Psi_{3}(x,a) = \Psi_{3}(b,y) + \Phi_{4}(b,y) = \\ &= \Phi_{3}(x,a) = 0; \end{split} \tag{14}$$

$$\Psi_{1}(x,d_{1}) = C_{0}, \quad \Psi_{2}(b-d_{2},y) = C_{0} + \frac{Pd_{2}}{2I}(d_{2}-2b)(y-d_{1})$$

$$\Psi_{3}(x,a-d_{3}) = C_{0} + \frac{Pd_{2}}{2I}(d_{2}-2b)(a-d_{3}-d_{1}). \end{split}$$

Для непрерывности решения надо потребовать, чтобы

$$\Phi_1(b-d_2, y) = \frac{\partial \Phi_1}{\partial x}\Big|_{x=b+d_1} = 0; \quad \Phi_1(x, d_1) = \Psi_2(x, d_1) - C_6;$$

$$\Phi_{2}(x, d_{1}) = \frac{\partial \Phi_{2}}{\partial y}\Big|_{y=d_{1}} = 0,$$

$$\Phi_{3}(b - d_{2}, y) = \Psi_{1}(b - d_{2}, y) - C_{0} - \frac{Pd_{2}}{2I}(d_{2} - 2b)(y - d_{1});$$

$$\Phi_{4}(x, a - d_{3}) = \frac{\partial \Phi_{4}}{\partial y}\Big|_{y=a-d_{2}} = 0;$$

$$\Phi_{4}(b - d_{2}, y) = \Psi_{3}(b - d_{2}, y) - C_{0} - \frac{Pd_{2}}{2I}(d_{2} - 2b)(y - d_{1}),$$

$$\Phi_{3}(b - d_{2}, y) = \frac{\partial \Phi_{3}}{\partial x}\Big|_{x=b-d_{3}} = 0;$$

$$\Phi_{3}(x, a - d_{3}) = \Psi_{2}(x, a - d_{3}) - C_{0} - \frac{Pd_{2}}{2I}(d_{2} - 2b)(a - d_{3} - d_{1}).$$
(15)

Граничные условия для определения функций $\Psi_i(x, y)$ и $\Phi_i(x, y)$ неоднородны, но, следуя Гринбергу [4], решение ищем в таком же виде, как и при однородных граничных условиях, т. е.

$$\begin{split} \Psi_{1}(x,y) &= \sum_{k=1}^{\infty} H_{k}(x) \sin \frac{k\pi y}{d_{1}}, \quad \text{где } H_{k}(x) = \frac{2}{d_{1}} \int_{0}^{d_{1}} \Psi_{1}(x,y) \sin \frac{k\pi y}{d_{1}} \, dy; \\ \Psi_{2}(x,y) &= \sum_{k=1}^{\infty} U_{k}(y) \sin \frac{k\pi (b-x)}{d_{2}}, \\ \Gamma \text{де} \qquad \qquad U_{k}(y) &= \frac{2}{d_{2}} \int_{b-d_{k}}^{b} \Psi_{2}(x,y) \sin \frac{k\pi (b-x)}{d_{2}} \, dx; \\ \Psi_{3}(x,y) &= \sum_{k=1}^{\infty} V_{k}(x) \sin \frac{k\pi}{d_{3}} \, (a-y), \\ \Gamma \text{де} \qquad \qquad V_{k}(x) &= \frac{2}{d_{3}} \int_{a-d_{3}}^{a} \Psi_{3}(x,y) \sin \frac{k\pi}{d_{3}} \, (a-y) \, dy; \\ \Phi_{1}(x,y) &= \sum_{k=1}^{\infty} W_{k}(x) \sin \frac{k\pi y}{d_{1}}, \\ \Gamma \text{де} \qquad \qquad W_{k}(x) &= \frac{2}{d_{1}} \int_{a}^{d_{1}} \Phi_{1}(x,y) \sin \frac{k\pi y}{d_{1}} \, dy; \end{split}$$

$$\Phi_{2}(x, y) = \sum_{k=1}^{\infty} G_{k}(y) \sin \frac{k\pi (b-x)}{d_{2}},$$
где
$$G_{k}(y) = \frac{2}{d_{2}} \int_{b-d_{1}}^{b} \Phi_{2}(x, y) \sin \frac{k\pi (b-x)}{d_{2}} dx;$$

$$\Phi_{3}(x, y) = \sum_{k=1}^{\infty} L_{k}(x) \sin \frac{k\pi}{d_{3}} (a-y),$$
где
$$L_{k}(x) = \frac{2}{d_{3}} \int_{a-d_{3}}^{b} \Phi_{3}(x, y) \sin \frac{k\pi}{d_{3}} (a-y) dy;$$

$$\Phi_{4}(x, y) = \sum_{k=1}^{\infty} K_{k}(y) \sin \frac{k\pi (b-x)}{d_{2}},$$
где
$$K_{k}(y) = \frac{2}{d_{2}} \int_{b-d_{1}}^{b} \Phi_{4}(x, y) \sin \frac{k\pi (b-x)}{d_{2}} dx.$$
(16)

§ 2. Решение уравнений задачи

Для определения функций $H_k(x)$, $U_k(y)$, \cdots и $K_k(y)$ получим следующие дифференциальные уравнения:

$$H'_{k}(x) - \left(\frac{k\pi}{d_{1}}\right)^{2} H_{k}(x) = (-1)^{k} \frac{2k\pi}{d_{1}^{2}} C_{6} + \frac{P^{\gamma}}{I(1+\gamma)} \cdot \frac{2}{k\pi} \cdot \left[d_{1}(-1)^{k+1} + y_{0}\left[(-1)^{k} - 1\right]\right];$$

$$U''_{k}(y) - \left(\frac{k\pi}{d_{2}}\right)^{2} U_{k}(y) = \frac{2k\pi}{d_{2}^{2}} C_{6} + \frac{P^{\gamma}}{I(1+\gamma)} \cdot \frac{2}{k\pi} \left[(-1)^{k} - 1\right] \cdot \left(y_{0} - y\right) + (-1)^{k} \frac{k\pi}{d_{2}} \cdot \frac{P}{I}(d_{2} - 2b)(y - d_{1}); \quad (17)$$

$$V''_{k}(x) - \left(\frac{k\pi}{d_{3}}\right)^{2} V_{k}(x) = \frac{2k\pi}{d_{3}^{2}} \left[C_{6} + \frac{Pd_{2}}{2I}(d_{2} - 2b)(a - d_{3} - d_{1})\right] - \frac{2}{k\pi} \cdot \frac{P^{\gamma}}{I(1+\gamma)}(a - y_{0})\left[(-1)^{k} - 1\right] + \frac{2d_{3}}{k\pi}(-1)^{k} \frac{P^{\gamma}}{I(1+\gamma)};$$

$$W'_{k}(x) - \left(\frac{k\pi}{d}\right)^{2} W_{k}(x) = \frac{2k\pi(-1)^{k+1}}{d_{1}^{2}} C_{6} + \frac{P^{\gamma}}{I(1+\gamma)}(a - y_{0})\left[(-1)^{k} - 1\right] + \frac{2d_{3}}{k\pi}(-1)^{k+1} C_{6} + \frac{P^{\gamma}}{I(1+\gamma)};$$

$$\begin{split} &+\frac{2k\pi\left(-1\right)^{k}}{d_{1}^{2}}\sum_{\rho=1}^{\infty}U_{\rho}(d_{1})\sin\frac{p\pi\left(b-x\right)}{d_{2}};\\ &G_{k}^{*}(y)-\left(\frac{k\pi}{d_{2}}\right)^{2}G_{k}\left(y\right)=\frac{2k\pi}{d_{2}^{2}}(-1)^{k+1}C_{0}+\\ &+\frac{2k\pi\left(-1\right)^{k}}{d_{2}^{2}}\left[\sum_{p=1}^{\infty}H_{\rho}\left(b-d_{2}\right)\cdot\sin\frac{p\pi y}{d_{1}}-\frac{Pd_{2}}{2I}\left(d_{2}-2b\right)\left(y-d_{1}\right)\right];\\ &K_{k}^{*}(y)-\left(\frac{k\pi}{d_{2}}\right)^{2}K_{k}\left(y\right)=\frac{2k\pi\left(-1\right)^{k+1}}{d_{2}^{2}}C_{0}+\\ &+\frac{2k\pi\left(-1\right)^{k}}{d_{2}^{2}}\left[\sum_{p=1}^{\infty}V_{\rho}\left(b-d_{2}\right)\cdot\sin\frac{p\pi}{d_{3}}\left(a-y\right)-\frac{Pd_{2}}{2I}\left(d_{2}-2b\right)\left(y-d_{1}\right)\right]. \end{split}$$

Из условий (14) н (15) на основании (16) получим следующие траничные условия для этих функций:

$$H'_{k}(x)|_{x=0} = V'_{k}(x)|_{x=0} = W_{k}(b-d_{2}) = W'_{k}(x)|_{x=b-d_{3}} = G_{k}(d_{1}) =$$

$$= G'_{k}(y)|_{y=d_{1}} = K_{k}(a-d_{3}) = K'_{k}(y)|_{y=a-d_{3}} = L_{k}(b-d_{2}) =$$

$$= L'_{k}(x)|_{x=b-d_{3}} = 0; \qquad (18)$$

$$H_{k}(b) + W_{k}(b) = 0, \qquad U_{k}(0) + G_{k}(0) = 0;$$

$$U_{k}(a) + K_{k}(a) = 0, \qquad V_{k}(b) + L_{k}(b) = 0. \qquad (19)$$

Решая уравнение (17) и используя условия (18), получим следующие выражения для искомых функций:

$$\begin{split} H_k(x) &= A_k \operatorname{ch} \frac{k\pi x}{d_1} - \frac{2d_1^2}{(k\pi^3)} \cdot \frac{P_v}{I(1+v)} (d_1(1-1)^{k+1} + \\ &+ y_0 \left[(-1)^k - 1 \right]) - \frac{2(-1)^k C_0}{k\pi}; \\ U_k(y) &= C_k \operatorname{ch} \frac{k\pi y}{d_2} + D_k \operatorname{sh} \frac{k\pi y}{d_2} - \\ &- \frac{2d_2^2}{(k\pi)^3} \cdot \frac{P_v}{I(1+v)} \left[(-1)^k - 1 \right] (y_0 - y) - \\ &- \frac{(-1)^k}{k\pi} \cdot \frac{Pd_2}{I} \left(d_2 - 2b \right) (y - d_1) - \frac{2(-1)^k}{k\pi} C_0; \\ V(x) &= E \operatorname{ch} \frac{k\pi x}{d_3} - \frac{2(-1)^k}{k\pi} \left[C_0 + \frac{Pd_2}{2I} (d_2 - 2b) (a - d_3 - d_1) \right] + \end{split}$$

$$+ \frac{2d_8^2}{(k\pi)^2} \cdot \frac{P_{\gamma}}{I(1+\gamma)} (a-y_0) |(-1)^k - 1| - 2(-1)^k \frac{P_{\gamma}}{I(1+\gamma)} \left(\frac{d_3}{k\pi}\right)^3;$$
 (20)
$$W_k(x) = \frac{4(-1)^{k+1}}{k\pi} C_0 \operatorname{sh}^2 \frac{k\pi}{2d_1} (x-b+d_2) +$$

$$+ \frac{2(-1)^{k+1}}{\pi d_1} \frac{d_2}{\operatorname{sh}} \operatorname{sh} \frac{k\pi}{d_1} (x-b+d_2) \cdot \sum_{p-1}^{\infty} \frac{p(-1)^p U_p(d_1)}{p^2 + \left(\frac{kd_2}{d_1}\right)^2} +$$

$$+ \frac{2(-1)^{k+1}kd_2^2}{\pi d_1^2} \sum_{p-1}^{\infty} \frac{U_p(d_1)}{p^2 + \left(\frac{kd_2}{d_1}\right)^2} \operatorname{sin} \frac{p\pi(b-x)}{d_2};$$

$$G_k(y) = \frac{4(-1)^{k+1}C_0}{k\pi} \operatorname{sh}^2 \frac{k\pi}{2d_2} (d_1-y) +$$

$$+ \frac{d_2(-1)^k}{(k\pi)^2} \frac{Pd_2}{I} (d_2-2b) \operatorname{sh} \frac{k\pi}{d_2} (d_1-y) +$$

$$+ \frac{(-1)^{k+1}}{\pi d_2} \cdot \frac{Pd_2}{I} (d_2-2b) (d_1-y) +$$

$$+ \frac{2(-1)^{k+1}}{\pi d_2} \operatorname{sh} \frac{k\pi}{d_2} (d_1-y) \sum_{p-1}^{\infty} \frac{p(-1)^p}{p^2 + \left(\frac{kd_1}{d_2}\right)^2} \cdot H_p(b-d_2) +$$

$$+ \frac{2k(-1)^{k+1}d_1^2}{\pi d_2^2} \sum_{p-1}^{\infty} \frac{H_p(b-d_2)}{p^2 + \left(\frac{kd_1}{d_2}\right)^2} \operatorname{sin} \frac{p\pi y}{d_1};$$

$$L_k(x) = \frac{4(-1)^{k+1}}{k\pi} \left[C_0 + \frac{Pd_2}{2I} (d_2-2b) (a-d_3-d_1) \right] \operatorname{sh}^2 \frac{k\pi}{2d_3} (x-b+d_2) +$$

$$+ \frac{2kd_2^2}{\pi d_3^2} (-1)^{k+1} \sum_{p-1}^{\infty} \frac{U_p(a-d_2)}{p^2 + \left(\frac{kd_2}{d_2}\right)^2} \operatorname{sin} \frac{p\pi(b-x)}{p^2 + \left(\frac{kd_2}{d_2}\right)^2} +$$

$$+ \frac{2kd_2^2}{\pi d_3^2} (-1)^{k+1} \sum_{p-1}^{\infty} \frac{U_p(a-d_2)}{p^2 + \left(\frac{kd_2}{d_2}\right)^2} \operatorname{sin} \frac{p\pi(b-x)}{d_2};$$

$$K_k(y) = \frac{4C_0(-1)^{k+1}}{k\pi} \operatorname{sh}^2 \frac{k\pi}{2d_2} (y-a+d_3) +$$

$$+ \frac{d_2}{k\pi} (-1)^{k+1} \frac{P}{I} (d_2-2b) (a-d_3-d_1) \operatorname{ch} \frac{k\pi}{d_2} (y-a+d_3) +$$

$$+ \left(\frac{d_2}{k\pi}\right)^2 \cdot \frac{P}{I} (-1)^{k+1} (d_2 - 2b) \sin \frac{k\pi}{d_2} (y - a + d_3) + \\ + \frac{2 (-1)^{k+1} d_3}{\pi d_2} \sin \frac{k\pi}{d_2} (y - a + d_3) \sum_{p=1}^{\infty} \frac{p (-1)^p V_p (b - d_2)}{p^2 + \left(\frac{k d_3}{d_2}\right)^2} + \\ + \frac{(-1)^k}{k\pi} \cdot \frac{P d_2}{I} \cdot (d_2 - 2b) (y - d_1) + \\ + \frac{2k (-1)^{k+1} d_3^2}{\pi d_2^2} \sum_{p=1}^{\infty} \frac{V_p (b - d_2)}{p^2 + \left(\frac{k d_3}{d_2}\right)^2} \cdot \sin \frac{p\pi}{d_3} (a - y).$$

Подставляя в (19) соответствующие значения функций $H_k(x)$, $U_k(y)$, ... и $K_k(y)$ из (20), получим совокупность четырех бесконечных систем линейных уравнений, из которой должны быть определены постоянные интегрирования A_k , C_k , D_k и E_k , что возможно сделать, если эта совокупность систем вполне регулярна.

Покажем, что полученная совокупность систем вполне регулярна. Делая подстановки

$$D_{k} = -C_{k} \operatorname{cth} \frac{k\pi a}{d_{2}} \cdot | \cdot F_{k} \operatorname{csch} \frac{k\pi a}{d_{2}};$$

$$C_{p} = \frac{abd_{2}}{a p (-1)^{p}} \operatorname{sh} \frac{p\pi d_{1}}{d_{2}} C_{p}^{*};$$

$$F_{p} = \frac{abd_{2}}{a p (-1)^{p}} \operatorname{sh} \frac{p\pi d_{3}}{d_{2}} F_{p}^{*};$$

$$A_{p} = \frac{abd_{2}}{p (-1)^{p}} \operatorname{sch} \frac{p\pi}{d_{1}} (b - d_{2}) A_{p}^{*};$$

$$E_{p} = \frac{abd_{2}}{p (-1)^{p}} \operatorname{sch} \frac{p\pi}{d_{3}} (b - d_{2}) E_{p}^{*};$$

$$(21)$$

приведем эту совокупность бесконечных систем уравнений к виду:

$$A_{k}^{*} = \sum_{p=1}^{\infty} a_{kp}^{11} C_{p}^{*} + \sum_{p=1}^{\infty} a_{kp}^{12} F_{p}^{*} + \gamma_{k}^{\Gamma};$$

$$C_{k}^{*} = \sum_{p=1}^{\infty} a_{kp}^{12} A_{p}^{*} + \gamma_{k}^{11};$$

$$F_{k}^{*} = \sum_{p=1}^{\infty} a_{kp}^{31} E_{p}^{*} + \gamma_{k}^{11};$$
(22)

$$E_k^* = \sum_{p=1}^{\infty} a_{kp}^{4l} C_p^* + \sum_{p=1}^{\infty} a_{kp}^{42} F_p^* + \gamma_k^{IV},$$

где

$$\begin{split} a_{kp}^{11} &= \frac{|2d_2k|}{\pi\pi d_1} \operatorname{sch} \frac{k\pi b}{d_1} \operatorname{sh} \frac{k\pi d_2}{d_1} \operatorname{ch} \frac{k\pi}{d_1} (b-d_2) \cdot \operatorname{sh} \frac{p\pi d_1}{d_2} \operatorname{sh} \frac{p\pi}{d_2} (a-d_1) \times \\ & \times \operatorname{csch} \frac{p\pi a}{d_2} \cdot \frac{1}{p^2 + \left(\frac{kd_2}{d_1}\right)^2} : \\ a_{kp}^{12} &= \frac{2d_2k}{\pi\pi d_1} \operatorname{ch} \frac{k\pi}{d_1} (b-d_2) \operatorname{sch} \frac{k\pi b}{d_1} \operatorname{sh} \frac{k\pi d_2}{d_1} \operatorname{sh} \frac{p\pi d_1}{d_2} \operatorname{sh} \frac{p\pi d_3}{d_2} \times \\ & \times \operatorname{csch} \frac{p\pi a}{d_2} \cdot \frac{1}{p^2 + \left(\frac{kd_2}{d_1}\right)^2} : \\ a_{kp}^{21} &= \frac{2d_12k}{\pi d_2} \cdot \frac{1}{p^2 + \left(\frac{kd_3}{d_2}\right)^2} : \\ a_{kp}^{21} &= \frac{2\pi kd_3}{\pi d_2} \operatorname{sh} \frac{k\pi d_2}{d_3} \operatorname{sch} \frac{k\pi b}{d_3} \operatorname{ch} \frac{k\pi}{d_3} (b-d_2) \operatorname{sh} \frac{p\pi d_1}{d_2} \operatorname{sh} \frac{p\pi d_3}{d_2} \times \\ & \times \operatorname{csch} \frac{p\pi a}{d_2} \cdot \frac{1}{p^2 + \left(\frac{kd_3}{d_2}\right)^2} : \\ a_{kp}^{42} &= \frac{2d_2k}{2\pi d_3} \operatorname{sh} \frac{k\pi d_2}{d_3} \operatorname{sch} \frac{k\pi b}{d_3} \operatorname{ch} \frac{k\pi}{d_3} \operatorname{sch} \frac{p\pi d_1}{d_3} \operatorname{sh} \frac{p\pi d_3}{d_2} \times \\ & \times \operatorname{csch} \frac{p\pi a}{d_2} \cdot \frac{1}{p^2 + \left(\frac{kd_2}{d_3}\right)^2} : \\ a_{kp}^{42} &= \frac{2d_2k}{2\pi d_3} \operatorname{ch} \frac{k\pi}{d_3} (b-d_2) \operatorname{sh} \frac{k\pi d_2}{d_3} \operatorname{sch} \frac{p\pi d_3}{d_3} \operatorname{sh} \frac{p\pi}{d_2} (a-d_3) \operatorname{sh} \frac{p\pi d_3}{d_2} \times \\ & \times \operatorname{csch} \frac{p\pi a}{d_3} \cdot \frac{1}{p^2 + \left(\frac{kd_2}{d_3}\right)^2} : \\ a_{kp}^{42} &= \frac{d_1}{abd_2} \frac{2}{k\pi^2} \operatorname{C}_0 \operatorname{ch} \frac{k\pi}{d_1} (b-d_2) \operatorname{sch} \frac{k\pi b}{d_3} \operatorname{sh} \frac{k\pi d_2}{d_1} - \\ &- \frac{d_1^2}{abd_2} (d_1-y_0) \cdot \frac{P}{I} \frac{1}{1+\gamma} \frac{2}{k^2\pi^3} \operatorname{sch} \frac{k\pi}{d_3} (b-d_2) \operatorname{ch} \frac{k\pi}{d_1} \operatorname{ch} \frac{k\pi}{d_1} \operatorname{ch} \frac{k\pi}{d_1} \left(b-d_2\right) + \\ &- \frac{d_1^2y_0}{abd_3} (-1)^k \frac{P}{I} \frac{\gamma}{1+\gamma} \frac{2}{k^2\pi^3} \operatorname{sch} \frac{k\pi b}{d_1} \operatorname{ch} \frac{k\pi}{d_1} \left(b-d_2\right) + \\ &- \frac{d_1^2y_0}{abd_3} (-1)^k \frac{P}{I} \frac{\gamma}{1+\gamma} \frac{2}{k^2\pi^3} \operatorname{sch} \frac{k\pi}{d_1} \operatorname{ch} \frac{k\pi}{d_1} \operatorname{ch} \frac{k\pi}{d_1} \left(b-d_2\right) + \\ &- \frac{d_1^2y_0}{abd_3} \left(-1\right)^k \frac{P}{I} \frac{\gamma}{1+\gamma} \frac{2}{k^2\pi^3} \operatorname{sch} \frac{k\pi b}{d_1} \operatorname{ch} \frac{k\pi}{d_1} \left(b-d_2\right) + \\ &- \frac{d_1^2y_0}{abd_3} \left(-1\right)^k \frac{P}{I} \frac{\gamma}{1+\gamma} \frac{2}{k^2\pi^3} \operatorname{sch} \frac{k\pi}{d_1} \operatorname{ch} \frac{k\pi}{d_1} \operatorname{ch} \frac{k\pi}{d_1} \left(b-d_2\right) + \\ &- \frac{d_1^2y_0}{abd_3} \left(-1\right)^k \frac{P}{I} \frac{\gamma}{1+\gamma} \frac{2}{k^2\pi^3} \operatorname{sch} \frac{k\pi}{d_1} \operatorname{ch} \frac{k\pi}{d_1} \operatorname{ch} \frac{k\pi}{d_1} \left(b-d_2\right) + \\ &- \frac{d_1^2y_0}{abd_3} \left(-1\right)^k \frac{P}{I} \frac{\gamma}{1+\gamma} \frac{2}{k^2\pi^$$

Совокупность четырех бесконечных систем уравнений можно свести к одной бесконечной системе

$$Z_{\nu} = \sum_{\rho=1}^{\infty} C_{\nu\rho} Z_{\rho} + b_{\nu}, \qquad (24)$$

если положить

$$A_k^* = Z_{4k-3}, \quad C_k^* = Z_{4k-2}, \quad F_k^* = Z_{4k-1}, \quad E_k^* = Z_{4k};$$
 $C_{4k-3, 4p-2} = a_{kp}^{11}; \quad C_{4k-3, 4p-1} = a_{kp}^{12}; \quad C_{4k-3, 4p} = C_{4k-3, 4p-3} = 0;$

$$C_{4k-2}$$
, $4p-3 = a_{kp}^{21}$, C_{4k-2} , $4p = C_{4k-2}$, $4p-1 = C_{4k-2}$, $4p-2 = 0$; (25)
 C_{4k-1} , $4p = a_{kp}^{31}$, C_{4k-1} , $4p-1 = C_{4k-1}$, $4p-2 = C_{4k-1}$, $4p-3 = 0$;
 C_{4k} , $4p-2 = a_{kp}^{41}$, C_{4k} , $4p-1 = a_{kp}^{42}$, C_{4k} , $4p = C_{4k}$, $4p-3 = 0$;
 $b_{4k-3} = \gamma_k^1$, $b_{4k-2} = \gamma_k^{11}$, $b_{4k-1} = \gamma_k^{111}$, $b_{4k} = \gamma_k^{1V}$.

Легко показать, что

$$\sum_{p=1}^{\infty} |C_{4k-3, p}| = \sum_{p=1}^{\infty} |a_{kp}^{11} + a_{kp}^{12}| < \frac{1}{4\alpha} \left[1 + e^{-\frac{2\pi}{d_1}(b-d_2)} \right] \left[1 + e^{-\frac{\pi}{d_2}(a-d_1-d_2)} \right];$$

$$\sum_{p=1}^{\infty} |C_{4k-5, p}| = \sum_{p=1}^{\infty} |a_{kp}^{21}| \le \alpha;$$

$$\sum_{p=1}^{\infty} |C_{4k-1, p}| = \sum_{p=1}^{\infty} |a_{kp}^{31}| \le \alpha;$$

$$\sum_{p=1}^{\infty} |C_{4k-1, p}| = \sum_{p=1}^{\infty} |a_{kp}^{31}| \le \alpha;$$

$$\sum_{p=1}^{\infty} |C_{4k,p}| = \sum_{p=1}^{\infty} |a_{kp}^{41} + a_{kp}^{42}| < \frac{1}{4\alpha} \left[1 + e^{-\frac{2\pi}{d_1}(b - d_4)} \right] \cdot \left[1 + e^{-\frac{\pi}{d_1}(a - d_1 - d_2)} \right].$$

Здесь были использованы следующие неравенства:

$$\begin{split} \sinh\frac{k\pi d_2}{d_1} & \cosh\frac{k\pi}{d_1} \left(b-d_2\right) \sinh\frac{k\pi b}{d_1} \leqslant \frac{1}{2} \left[1+e^{-\frac{2\pi}{d_1} \left(b-d_2\right)}\right]; \\ & \sinh\frac{k\pi}{d_2} \left(a-d_1\right) \cosh\frac{k\pi a}{d_2} \leqslant e^{-\frac{k\pi d_1}{d_1}}; \\ & \coth x - \frac{1}{x} \leqslant 1 \qquad (0\leqslant x\leqslant \infty). \end{split}$$

Выбирая при $d_1 > d_3$

$$a = \frac{1}{2} \sqrt{\left[1 + e^{-\frac{2\pi}{d_1}(b-d_2)}\right] \left[1 + e^{-\frac{n}{d_2}(a-d_1-d_2)}\right]},$$

для всех > получим

$$\sum_{p=1}^{\infty} |C_{i,p}| < \frac{1}{2} \sqrt{\left[1 + e^{-\frac{2\pi}{d_i}(b-d_i)}\right] \left[1 + e^{-\frac{\pi}{d_k}(a-d_i-d_i)}\right]}.$$

Если же $d_3 > d_1$, то α придаем значение

$$\mathbf{a} = \frac{1}{2} \sqrt{\left[1 + e^{-\frac{2\pi}{d_s}(b-d_s)}\right] \left[1 + e^{-\frac{\pi}{d_s}(a-d_s-d_s)}\right]}$$

и для всех у имеем:

$$\sum_{p=1}^{\infty} |C_{i,p}| < \frac{1}{2} \sqrt{\left[1 + e^{-\frac{2\pi}{d_i}(b-d_i)}\right] \left[1 + e^{-\frac{\pi}{d_i}(a-d_i-d_i)}\right]},$$

т. е.

$$\sum_{\mu=1}^{\infty} |C_{n,\mu}| < 1 - \theta$$

для любого v и $\theta > 0$. Следовательно, система (24) впелне регулярна [5]. Свободные члены системы (24) ограничены $|\gamma_k| \ll M$. Как известно [5], в этом случае система имеет ограниченные решения, удовлетворяющие неравенству

$$|Z_{\gamma}| \leqslant K = \frac{M}{6}$$

Рассмотрим несколько частных случаев:

- 1. $d_1 = a d_3$, т. е. случай прямоугольного сечения с внутренней внецентренно расположенной трещиной, система (24) остается вполне регулярной;
- $2.\ b=d_2$, т. е. случай прямоугольного сечения с горизонтально расположенной трещиной вдоль оси. Система (24) также вполне регулярна;
- 3. $d_1 = d_3$, т. е. случай сечения с центрально расположенным прямоугольным вырезом. Как это видно из (23).

$$a_{kp}^{21} = a_{kp}^{31}, \quad a_{kp}^{11} = a_{kp}^{42}, \quad a_{kp}^{42} = a_{kp}^{41}.$$

Совокупность четырех бесконечных систем (22) вырождается в совокупность двух бесконечных систем:

$$M_k^* = \sum_{p=1}^{\infty} a_{kp}^{21} L_p^* + b_k^1,$$

$$L_k^* = \sum_{\rho=-\infty}^{\infty} c_{k\rho} M_{\rho}^* + b_k^{\mathsf{II}},$$

где

$$c_{k\rho} = a_{k\rho}^{11} + a_{k\rho}^{12l}, \qquad b_k^1 = \gamma_k^1 + \gamma_k^{1ll}, \qquad b_k^{1l} = \gamma_k^1 + \gamma_k^{1l}.$$

§ 3. Определение постоянного Со

Постоянная C_0 определяется из теоремы Л. С. Лейбензона [3] о циркуляции касательного напряжения при изгибе:

$$\int_{I}^{\partial F} ds + \frac{P}{2I} \int \int_{I}^{I} f_1(y) dx dy + \left[2\mu z - \frac{P_{V}(y_0' - y_0)}{(1 + v)I} \right] \Omega = 0,$$

где Ω — площадь, ограниченная внутренним контуром L/; y_0^* — координата центра тяжести замкнутой области Ω .

Поскольку было принято $f(y)=b^2$ и z=0, то это соотношение упрощается

$$\int_{L_i}^{\infty} \frac{\partial F}{\partial n} ds = \frac{P_s}{I(1+s)} (y_0 - y_0) \Omega. \tag{26}$$

Учитывая (10) и (11), формуле (26) можно придать вид:

$$\int_{d_{i}}^{a-d_{s}} \frac{\partial W_{2}}{\partial x} \Big|_{x=b-d_{s}} dy - \int_{0}^{b-d_{s}} \frac{\partial W_{1}}{\partial y} \Big|_{y=d_{i}} dx + \int_{0}^{b-d_{s}} \frac{\partial W_{3}}{\partial y} \Big|_{y=a-d_{s}} dx =$$

$$= \frac{P_{Y}}{I(1+Y)} (y'_{0} - y_{0}) (a - d_{2} - d_{1}) (b - d_{2}). \tag{27}$$

Решая бесконечную систему (24), получим значения постоянных интегрирования, выраженные через C_0 . Затем находим функции $H_k(x)$, $U_k(y), \cdots, K_k(y)$, через которые определяются функции напряжений $\Psi_i(x, y)$ и $\Phi_i(x, y)$.

Подставляя в (27) соответствующие значения функций $\Psi_t(x, y)$, после некоторых преобразований получим следующую формулу для определения C_0 :

$$\begin{split} C_0 \left[\frac{b-d_2}{d_1} + \frac{b-d_2}{d_3} + \frac{a-d_1-d_3}{d_2} \right] = \\ = \frac{P_{\mathsf{V}}}{I\left(1+\mathsf{v}\right)} \left(y_6 - y_0' \right) \left(a - d_3 - d_1 \right) \left(b - d_2 \right) - \\ = \frac{1}{3} \frac{P_{\mathsf{V}}}{I\left(1+\mathsf{v}\right)} \left(b - d_2 \right) \left(d_1^2 - d_3^2 \right) + \frac{1}{2} \frac{P_{\mathsf{V}}}{I\left(1+\mathsf{v}\right)} \left(b - d_2 \right) \left[y_{\mathsf{v}} (d_1 + d_3) - ad_3 \right] - \frac{Pd_2}{2Id_3} \left(d_3 - 2b \right) \left(a - d_3 - d_1 \right) \left(b - d_2 \right) + \\ + \frac{P_{\mathsf{V}}}{I\left(1+\mathsf{v}\right)} \frac{d_3}{4} \left(a - d_3 - d_1 \right) \left(2y_{\mathsf{v}} - a + d_2 - d_1 \right) - \\ - \frac{P}{4I} \left(d_3 - 2b \right) \left(a - d_3 - d_3 \right)^2 - \end{split}$$

⁴ Известия АН, серия фил.-мат. маук. № 2

$$\begin{split} &-abd_2 \left\{ \frac{1}{\alpha} \sum_{k=1}^{\infty} \frac{\Upsilon_k^{\text{II}}}{k} + \frac{1}{\alpha} \sum_{k=1}^{\infty} \frac{\Upsilon_k^{\text{III}}}{k} + \sum_{k=1}^{\infty} \frac{\Upsilon_k^{\text{II}}}{k} \cosh \frac{k\pi b}{d_1} \operatorname{csch} \frac{k\pi d_2}{d_1} \operatorname{sch} \frac{k\pi}{d_1} (b - d_2) + \right. \\ &+ \sum_{k=1}^{\infty} \frac{\Upsilon_k^{\text{IV}}}{k} \cosh \frac{k\pi b}{d_3} \operatorname{csch} \frac{k\pi d_2}{d_3} \operatorname{sch} \frac{k\pi}{d_3} (b - d_2) - \frac{d_1}{\pi d_2} \sum_{k=1}^{\infty} \frac{Z_{4k-3}}{k^2} - \\ &- \frac{d_3}{\pi d_2} \sum_{k=1}^{\infty} \frac{Z_{4k}}{k^2} - \frac{d_2}{\alpha\pi d_1} \sum_{k=1}^{\infty} \frac{Z_{4k-2}}{k^2} \operatorname{csch} \frac{k\pi a}{d_2} \operatorname{sh} \frac{k\pi d_1}{d_2} \operatorname{sh} \frac{k\pi}{d_2} (a - d_1) - \\ &- \frac{d_2}{\alpha\pi d_1} \sum_{k=1}^{\infty} \frac{Z_{4k-1}}{k^2} \operatorname{csch} \frac{k\pi a}{d_2} \operatorname{sh} \frac{k\pi d_1}{d_2} \operatorname{sh} \frac{k\pi d_3}{d_2} - \\ &- \frac{d_2}{\alpha\pi d_3} \sum_{k=1}^{\infty} \frac{Z_{4k-2}}{k^2} \operatorname{csch} \frac{k\pi a}{d_2} \operatorname{sh} \frac{k\pi d_1}{d_2} \operatorname{sh} \frac{k\pi d_3}{d_2} - \\ &- \frac{d_2}{\alpha\pi d_3} \sum_{k=1}^{\infty} \frac{Z_{4k-1}}{k^2} \operatorname{csch} \frac{k\pi a}{d_2} \operatorname{sh} \frac{k\pi d_3}{d_2} \operatorname{sh} \frac{k\pi d_3}{d_2} + \\ &- \frac{d_2}{\alpha\pi d_3} \sum_{k=1}^{\infty} \frac{Z_{4k-1}}{k^2} \operatorname{csch} \frac{k\pi a}{d_2} \operatorname{sh} \frac{k\pi d_3}{d_2} \operatorname{sh} \frac{k\pi}{d_2} (a - d_3) \right\}, \end{split}$$

§ 4. Определение центра изгиба

Координата центра изгиба определяется по формуле

$$y = \frac{1}{P} \iint_{0} \left(x \frac{\partial F}{\partial x} + y \frac{\partial F}{\partial y} \right) dx dy - \frac{1}{2I} \iint_{0} (x^{2} - b^{2}) y dx dy. \tag{28}$$

Подставляя в (28) полученные значения функций напряжений и произведя интегрирование, окончательно получим

$$\begin{split} y_e &= \frac{1}{6I} \{2b^3 \left[d_1^2 + d_3 \left(2a - d_3 \right) \right] + d_2^2 \left(3b - d_2 \right) \left[(a - d_3)^2 - d_1^2 \right] \} + \\ &+ \frac{2}{P} \Bigg\{ 4abd_2 \frac{d_1^2}{\pi^2} \sum_{k=1,3}^{\infty} \frac{Z_{4k-3}}{k^3} \cdot \operatorname{sch} \frac{k\pi}{d_1} \left(b - d_2 \right) \operatorname{sch} \frac{k\pi d_2}{2d_1} \operatorname{sh} \frac{k\pi}{d_1} \left(b - \frac{d_2}{2} \right) + \\ &+ 4 \frac{abd_2^3}{2\pi^2} \sum_{k=1,3}^{\infty} \frac{Z_{4k-2}}{k^3} \left[1 - \operatorname{sch} \frac{k\pi a}{2d_2} \cdot \operatorname{ch} \frac{a - 2d_1}{2d_2} k\pi \right] + \\ &+ 4 \frac{abd_2^3}{2\pi^2} \sum_{k=1,3}^{\infty} \frac{Z_{4k-1}}{k^3} \left[1 - \operatorname{sch} \frac{k\pi a}{2d_2} \operatorname{ch} k\pi \frac{a - 2d_3}{2d_2} \right] + \end{split}$$

$$\begin{split} &+4\frac{abd_2d_3^2}{\pi^2}\sum_{k=1,3}^{\infty}\frac{Z_{4k}}{k^3}\sinh\frac{k\pi}{d_3}\left(b-d_2\right)\sinh\frac{k\pi d_2}{2d_3}\sinh\frac{k\pi}{d_2}\left(b-\frac{d_2}{2}\right)+\\ &+C_0\left[-2ab+bd_3+bd_1-ad_2\right]-\frac{8C_0}{\pi^3}\sum_{k=1,3}^{\infty}\frac{1}{k^3}\left[d_1^3th\frac{k\pi d_2}{2d_1}+\right.\\ &+d_2^2th\frac{k\pi d_1}{2d_2}+d_3^3th\frac{k\pi d_2}{2d_3}+d_2^2th\frac{k\pi d_3}{2d_2}\right]+\\ &+\frac{P^{\gamma}}{I(1+\gamma)}\cdot\frac{1}{12}\cdot\left[d_1^2(bd_1^2-d_2^3)+d_3^3b\left(2a-d_2\right)+d_2^3\left(a-d_3\right)^2\right]+\\ &+\frac{P^{\gamma}}{I(1+\gamma)}y_0\frac{1}{6}\left[-bd_1^3-ad_2^3+d_2d_2^3+d_1d_2^3-bd_3^3\right]+\\ &+\frac{P^{\gamma}}{I(1+\gamma)}\cdot\frac{8}{\pi^5}\sum_{k=1,3}^{\infty}\frac{1}{k^5}\cdot\left[2d_1d_2^4th\frac{k\pi d_1}{2d_2}-d_1^5th\frac{k\pi d_2}{2d_1}-2ad_3^3th\frac{k\pi d_2}{2d_3}+\right.\\ &+\frac{d_3^5th}{\pi^5}\frac{k\pi d_2}{2d_3}+2d_2^3(a-d_3)th\frac{k\pi d_3}{2d_2}\right]+\\ &+\frac{16}{\pi^5}\frac{P^{\gamma}}{I(1+\gamma)}y_0\sum_{k=1,3}^{\infty}\frac{1}{k^5}\left[-d_2^4th\frac{k\pi d_1}{2d_2}-d_1^4th\frac{k\pi d_3}{2d_2}+d_1^4th\frac{k\pi d_2}{2d_1}+\right.\\ &+\frac{16}{\pi^5}\frac{P^{\gamma}}{I(1+\gamma)}y_0\sum_{k=1,3}^{\infty}\frac{1}{k^5}\left[-d_2^4th\frac{k\pi d_1}{2d_2}-d_2^4th\frac{k\pi d_3}{2d_2}+d_1^4th\frac{k\pi d_2}{2d_1}+\right.\\ &+\frac{16}{\pi^3}th\frac{k\pi d_2}{2d_3}\right]+\frac{Pd_2}{4I}\left(d_2-2b\right)\cdot\left(a-d_3-d_1\right)\left[bd_1-3ab+bd_3+2ad_2\right]-\\ &-\frac{4}{\pi^3}\frac{Pd_2}{I}\left(d_2-2b\right)\cdot\left(a-d_3-d_1\right)\sum_{k=1}^{\infty}\frac{1}{k^2}\left[d_3^2th\frac{k\pi d_2}{2d_2}+d_2^2th\frac{k\pi d_2}{2d_2}\right]\right\}. \end{split}$$

Если вырез расположен симмётрично, т. е. $d_1=d_3$, то из формулы (29) следует, что, как и следовало ожидать, $y_c=\frac{a}{2}$

§ 5. Определение напряжений

Напряжения определяются через функцию напряжений следующим образом [3]:

$$X_z = \frac{\partial F}{\partial y} - \frac{P}{2I} (x^2 - b^2);$$

 $Y_z = -\frac{\partial F}{\partial x}.$ (30)

Подставляя в (30) соответствующие значения F(x, y), получим:

$$X_z = \frac{abd_2\pi}{d_1} \sum_{k=1}^{\infty} (-1)^k \operatorname{ch} \frac{k\pi x}{d_1} \operatorname{sch} \frac{k\pi}{d_1} (b - d_2) \operatorname{cos} \frac{k\pi y}{d_1} Z_{4k-2} +$$

$$+ \frac{C_0}{d_1} + \frac{P_{Y-1}}{I(1+v)} \frac{1}{6} (3y^2 - d_1^2) + \frac{P_Y}{I(1+v)} \frac{y_0}{2} (d_1 - 2y) - \frac{P}{2I} (x^2 - b^2);$$

$$Y_z = \frac{abd_2\pi}{d_1} \sum_{k=1}^{\infty} (-1)^{k+1} \operatorname{sh} \frac{k\pi x}{d_1} \operatorname{sch} \frac{k\pi}{d_1} (b - d_2) \operatorname{sin} \frac{k\pi y}{d_1} Z_{4k-3}$$

$$0 < x < b - d_2, \quad 0 < y < d_1,$$

$$X_z = \frac{ab\pi}{a} \sum_{k=1}^{\infty} (-1)^{k+1} \operatorname{sh} \frac{k\pi d_1}{d_2} \operatorname{csch} \frac{k\pi a}{d_2} \operatorname{ch} \frac{k\pi y}{d_2} \operatorname{sin} \frac{k\pi (b - x)}{d_2} \cdot Z_{4k-2} +$$

$$+ \frac{ab\pi}{a} \sum_{k=1}^{\infty} (-1)^k \operatorname{sh} \frac{k\pi d_3}{d_2} \operatorname{csch} \frac{k\pi a}{d_2} \operatorname{ch} \frac{k\pi y}{d_2} \operatorname{sin} \frac{k\pi (b - x)}{d_2} \cdot Z_{4k-1} -$$

$$- \frac{P}{2I} [x^2 + x (d_2 - 2b) + b (b - d_2)] - \frac{P_Y}{I(1 + y)} \frac{1}{2} (b - x) (d_2 - b + x);$$

$$Y_z = \frac{ab\pi}{a} \sum_{k=1}^{\infty} (-1)^k \operatorname{sh} \frac{k\pi d_3}{d_2} \operatorname{csch} \frac{k\pi a}{d_3} \operatorname{sh} \frac{k\pi}{d_2} (a - y) \operatorname{cos} \frac{k\pi (b - x)}{d_3} Z_{4k-2} +$$

$$+ \frac{ab\pi}{a} \sum_{k=1}^{\infty} (-1)^k \operatorname{sh} \frac{k\pi d_3}{d_2} \operatorname{csch} \frac{k\pi a}{d_3} \operatorname{sh} \frac{k\pi y}{d_2} \operatorname{cos} \frac{k\pi (b - x)}{d_3} Z_{4k-1} +$$

$$+ \frac{C_0}{d_2} + \frac{P}{2I} (d_3 - 2b) (y - d_1) + \frac{P_Y}{I(1 + y)} \frac{1}{2} (y_0 - y) [d_2 - 2 (b - x)]$$

$$b - d_2 < x < b, \quad d_1 < y < a - d_3.$$

$$X_z = \frac{abd_2\pi}{d_2} \sum_{k=1}^{\infty} (-1)^{k+1} \operatorname{ch} \frac{k\pi x}{d_3} \operatorname{sch} \frac{k\pi}{d_3} (b - d_2) \operatorname{cos} \frac{k\pi}{d_3} (a - y) Z_{1k} -$$

$$- \frac{C_0}{d_3} - \frac{Pd_2}{2Id_3} (d_2 - 2b) (a - d_3 - d_1) + \frac{P_Y}{I(1 + y)} \frac{1}{2} (a - y_0) [d_3 -$$

$$- 2 (a - y)] + \frac{P_Y}{I(1 + y)} \cdot \frac{1}{6} \cdot [3 (a - y)^2 - d_3^2] - \frac{P}{2I} (x^2 - b^2);$$

$$Y_z = \frac{abd_2\pi}{d_3} \sum_{k=1}^{\infty} (-\frac{1}{2}1)^{k+1} \operatorname{sh} \frac{k\pi x}{d_3} \operatorname{sch} \frac{k\pi}{d_3} (b - d_2) \operatorname{sin} \frac{k\pi}{d_3} (a - y) \cdot Z_{4k};$$

$$0 < x < b - d_2; \quad a - d_3 < y < a.$$

$$X_{z} = \frac{abd_{2}\pi}{d_{1}} \sum_{k=1}^{\infty} (-1)^{k} \operatorname{sh} \frac{k\pi}{d_{1}} (b-x) \operatorname{csch} \frac{k\pi d_{2}}{d_{1}} \operatorname{cos} \frac{k\pi y}{d_{1}} Z_{4k-2} +$$

$$+ \frac{ab\pi}{\pi} \sum_{k=1}^{\infty} (-1)^{k} \operatorname{sh} \frac{k\pi d_{2}}{d_{2}} \operatorname{ch} \frac{k\pi y}{d_{2}} \operatorname{csch} \frac{k\pi a}{d_{2}} \operatorname{sin} \frac{k\pi (b-x)}{d_{2}} Z_{4k-1} +$$

$$+ \frac{ab\pi}{\pi} \sum_{k=1}^{\infty} (-1)^{k} \operatorname{ch} \frac{k\pi y}{d_{2}} \operatorname{sh} \frac{k\pi}{d_{2}} (a-d_{1}) \operatorname{csch} \frac{k\pi a}{d_{2}} \operatorname{sin} \frac{k\pi (b-x)}{d_{2}} Z_{4k-2} +$$

$$+ \frac{2C_{0}}{d_{1}} \sum_{k=1}^{\infty} (-1)^{k+1} \operatorname{sh} \frac{k\pi}{d_{1}} (b-x) \operatorname{csch} \frac{k\pi d_{2}}{d_{1}} \operatorname{cos} \frac{k\pi y}{d_{1}} +$$

$$+ \frac{2C_{0}}{d_{2}} \sum_{k=1}^{\infty} (-1)^{k+1} \operatorname{ch} \frac{k\pi y}{d_{2}} \operatorname{sch} \frac{k\pi d_{1}}{d_{2}} \operatorname{sin} \frac{k\pi}{d_{2}} (b-x) +$$

$$+ \frac{P^{y}}{I(1+y)} \frac{1}{6} (3y^{2} - d_{1}^{2}) + \frac{P^{y}}{I(1+y)} \frac{y_{0}}{2} (d_{1} - 2y) -$$

$$- \frac{P^{y}}{I(1+y)} \cdot \frac{4d_{2}}{\pi^{2}} (d_{1} - y_{0}) \sum_{k=1,3}^{\infty} \frac{1}{k^{2}} \operatorname{ch} \frac{k\pi y}{d_{2}} \operatorname{csch} \frac{k\pi d_{1}}{d_{2}} \operatorname{sin} \frac{k\pi}{d_{2}} (b-x) -$$

$$- \frac{P^{y}}{I(1+y)} \cdot \frac{2d_{1}^{2}}{\pi^{2}} \sum_{k=1}^{\infty} \frac{(-1)^{k}}{k^{2}} \operatorname{sh} \frac{k\pi}{d_{1}} (x-b+d_{2}) \operatorname{csch} \frac{k\pi d_{2}}{d_{1}} \operatorname{cos} \frac{k\pi y}{d_{1}} -$$

$$- \frac{P^{y}}{I(1+y)} \cdot \frac{4y_{0}d_{1}}{\pi^{2}} \sum_{k=1,3}^{\infty} \frac{1}{k^{2}} \operatorname{sh} \frac{k\pi}{d_{1}} (x-b+d_{2}) \operatorname{csch} \frac{k\pi d_{2}}{d_{1}} \operatorname{cos} \frac{k\pi y}{d_{1}} -$$

$$- \frac{P}{2I} (x^{2} - b^{2});$$

$$Y = \frac{abd_{2}\pi}{d_{1}} \sum_{k=1}^{\infty} (-1)^{k} \operatorname{ch} \frac{k\pi}{d_{1}} (b-x) \operatorname{csch} \frac{k\pi d_{2}}{d_{1}} \operatorname{sin} \frac{k\pi y}{d_{1}} Z_{4k-3} +$$

$$+ \frac{ab\pi}{x} \sum_{k=1}^{\infty} (-1)^{k} \operatorname{sh} \frac{k\pi d_{3}}{d_{2}} \operatorname{sh} \frac{k\pi y}{d_{2}} \operatorname{csch} \frac{k\pi a}{d_{2}} \operatorname{cos} \frac{k\pi}{d_{2}} (b-x) Z_{4k-1} +$$

$$+ \frac{ab\pi}{x} \sum_{k=1}^{\infty} (-1)^{k} \operatorname{sh} \frac{k\pi d_{3}}{d_{2}} \operatorname{sh} \frac{k\pi y}{d_{2}} \operatorname{csch} \frac{k\pi a}{d_{2}} \operatorname{cos} \frac{k\pi}{d_{2}} (b-x) Z_{4k-1} +$$

$$+ \frac{ab\pi}{x} \sum_{k=1}^{\infty} (-1)^{k} \operatorname{sh} \frac{k\pi y}{d_{2}} \operatorname{sh} \frac{k\pi}{d_{2}} (a-d_{1}) \operatorname{csch} \frac{k\pi a}{d_{2}} \operatorname{cos} \frac{k\pi}{d_{2}} (b-x) Z_{4k-2} +$$

$$+ \frac{ab\pi}{x} \sum_{k=1}^{\infty} (-1)^{k} \operatorname{sh} \frac{k\pi}{d_{2}} \operatorname{sh} \frac{k\pi}{d_{2}} (a-d_{1}) \operatorname{csch} \frac{k\pi a}{d_{2}} \operatorname{cos} \frac{k\pi}{d_{2}} (b-x) Z_{4k-2} +$$

$$+ \frac{ab\pi}{x} \sum_{k=1}^{\infty} (-1)^{k} \operatorname{sh} \frac{k\pi}{d_{2}} \operatorname{csch} \frac{k\pi}{d_{2}} \operatorname{csch} \frac{k\pi}{d_$$

$$\begin{split} &+\frac{2C_0}{d_1}\sum_{k=1}^{\infty}(-1)^{k+1}\mathrm{ch}\frac{k\pi}{d_1}\left(b-x\right)\mathrm{csch}\frac{k\pi d_2}{d_1}\mathrm{sin}\frac{k\pi y}{d_1}+\\ &+\frac{2C_0}{d_2}\sum_{k=1}^{\infty}(-1)^{k+1}\mathrm{sh}\frac{k\pi y}{d_2}\mathrm{csch}\frac{k\pi d_1}{d_2}\mathrm{cos}\frac{k\pi}{d_2}\left(b-x\right)-\\ &-\frac{P_r}{I(1+r)}\cdot\frac{4d_0}{\pi^2}\left(d_1-y_0\right)\sum_{k=1,3}^{\infty}\frac{1}{k^2}\mathrm{sh}\frac{k\pi y}{d_2}\mathrm{csch}\frac{k\pi d_1}{d_2}\mathrm{cos}\frac{k\pi}{d_2}\left(b-x\right)+\\ &+\frac{P_r}{I(1+r)}\cdot\frac{2d_1^2}{\pi^2}\sum_{k=1}^{\infty}\frac{(-1)^k}{k^2}\cdot\mathrm{ch}\frac{k\pi}{d_1}\left(x-b+d_2\right)\mathrm{csch}\frac{k\pi d_2}{d_1}\mathrm{sin}\frac{k\pi y}{d_1}+\\ &+\frac{P_r}{I(1+r)}\cdot\frac{4y_0d_1}{\pi^2}\sum_{k=1,3}^{\infty}\frac{1}{k^2}\mathrm{ch}\frac{k\pi}{d_1}\left(x-b+d_2\right)\mathrm{csch}\frac{k\pi d_2}{d_1}\mathrm{sin}\frac{k\pi y}{d_1}+\\ &+\frac{P_r}{I(1+r)}\cdot\frac{4y_0d_1}{\pi^2}\sum_{k=1,3}^{\infty}\frac{1}{k^2}\mathrm{ch}\frac{k\pi}{d_1}\left(x-b+d_2\right)\mathrm{csch}\frac{k\pi d_2}{d_1}\mathrm{sin}\frac{k\pi y}{d_1}+\\ &+\frac{P_r}{I(1+r)}\cdot\frac{4y_0d_1}{\pi^2}\sum_{k=1,3}^{\infty}\left(-1\right)^{k+1}\mathrm{sh}\frac{k\pi}{d_3}\left(b-x\right)\mathrm{csch}\frac{k\pi d_2}{d_3}\mathrm{cos}\frac{k\pi}{d_3}\left(a-y\right)\mathrm{Z}_{4k}+\\ &+\frac{ab\pi}{a}\sum_{k=1}^{\infty}\left(-1\right)^{k+1}\mathrm{sh}\frac{k\pi d_1}{d_2}\mathrm{csch}\frac{k\pi a}{d_2}\mathrm{ch}\frac{k\pi}{d_2}\left(a-y\right)\mathrm{sin}\frac{k\pi}{d_2}\left(b-x\right)\mathrm{Z}_{4k-2}+\\ &+\frac{ab\pi}{a}\sum_{k=1}^{\infty}\left(-1\right)^{k+1}\mathrm{sh}\frac{k\pi}{d_2}\left(a-d_3\right)\mathrm{csch}\frac{k\pi a}{d_2}\mathrm{ch}\frac{k\pi}{d_2}\left(a-y\right)\mathrm{sin}\frac{k\pi}{d_2}\left(b-x\right)\mathrm{Z}_{4k-1}+\\ &+\frac{2C_0}{d_2}\sum_{k=1}^{\infty}\left(-1\right)^k\mathrm{sh}\frac{k\pi}{d_3}\left(b-x\right)\mathrm{csch}\frac{k\pi d_2}{d_3}\mathrm{cos}\frac{k\pi}{d_3}\left(a-y\right)+\\ &+\frac{2C_0}{d_2}\sum_{k=1}^{\infty}\left(-1\right)^k\mathrm{sh}\frac{k\pi}{d_3}\left(a-y\right)\mathrm{csch}\frac{k\pi d_2}{d_3}\mathrm{sin}\frac{k\pi}{d_2}\left(b-x\right)+\\ &+\frac{P_r}{Id_3}\left(d_2-2b\right)\left(a-d_3-d_1\right)\sum_{k=1}^{\infty}\left(-1\right)^k\mathrm{sh}\frac{k\pi}{d_3}\left(b-x\right)+\\ &+\frac{P_r}{Id_3}\left(d_2-2b\right)\left(a-d_3-d_1\right)\sum_{k=1}^{\infty}\left(-1\right)^k\mathrm{sh}\frac{k\pi}{d_3}\left(b-x\right)+\\ &+\frac{P_r}{Id_3}\left(a-y\right)\mathrm{csch}\frac{k\pi d_3}{d_3}\mathrm{sin}\frac{k\pi}{d_3}\left(b-x\right)+\\ &+\frac{P_r}{Id_3}\left(a-y\right)\mathrm{csch}\frac{k\pi d_3}$$

$$\begin{split} & + \frac{P^{\mathsf{v}}}{I(1+\mathsf{v})} \cdot \frac{1}{2} \left(a - y_{\mathsf{o}} \right) \left[d_{\mathsf{d}} - 2 \left(a - \mathsf{y} \right) \right] + \frac{P^{\mathsf{v}}}{I(1+\mathsf{v})} \cdot \frac{1}{6} \left[3 \left(a - \mathsf{y} \right)^{2} - \right. \\ & - d_{\mathsf{d}}^{2} \right] - \frac{4d_{\mathsf{d}}}{\pi^{2}} \cdot \frac{P^{\mathsf{v}}}{I(1+\mathsf{v})} \left(a - y_{\mathsf{o}} \right) \sum_{k=1,k}^{\infty} \frac{1}{k^{2}} \operatorname{sh} \frac{k\pi}{d_{\mathsf{d}}} \left(x - b + d_{\mathsf{d}} \right) \times \\ & \times \operatorname{csch} \frac{k\pi d_{\mathsf{g}}}{d_{\mathsf{d}}} \cos \frac{k\pi}{d_{\mathsf{g}}} \left(a - \mathsf{y} \right) - \\ & - \frac{2d_{\mathsf{d}}^{2}}{\pi^{2}} \cdot \frac{P^{\mathsf{v}}}{I(1+\mathsf{v})} \sum_{k=1}^{\infty} \frac{\left(-1 \right)^{k}}{k^{2}} \operatorname{sh} \frac{k\pi}{d_{\mathsf{g}}} \left(x - b + d_{\mathsf{g}} \right) \operatorname{csch} \frac{k\pi d_{\mathsf{g}}}{d_{\mathsf{g}}} \cos \frac{k\pi}{d_{\mathsf{g}}} \left(a - \mathsf{y} \right) + \\ & + \frac{P^{\mathsf{v}}}{I(1+\mathsf{v})} \cdot \frac{4d_{\mathsf{g}}}{\pi^{2}} \left(a - d_{\mathsf{g}} - y_{\mathsf{g}} \right) \sum_{k=1,3}^{\infty} \frac{1}{k^{2}} \operatorname{ch} \frac{k\pi}{d_{\mathsf{g}}} \left(a - \mathsf{y} \right) \operatorname{csch} \frac{k\pi d_{\mathsf{g}}}{d_{\mathsf{g}}} \times \\ & \times \operatorname{sin} \frac{k\pi \left(b - x \right)}{d_{\mathsf{g}}} - \frac{P}{2I} \left(x^{2} - b^{2} \right); \\ & Y_{\mathsf{g}} = \frac{abd_{\mathsf{g}}\pi}{d_{\mathsf{g}}} \sum_{k=1}^{\infty} \left(-1 \right)^{\mathsf{k}} \operatorname{ch} \frac{k\pi}{d_{\mathsf{g}}} \left(b - x \right) \operatorname{csch} \frac{k\pi d_{\mathsf{g}}}{d_{\mathsf{g}}} \operatorname{sin} \frac{k\pi}{d_{\mathsf{g}}} \left(a - \mathsf{y} \right) Z_{\mathsf{s}k} + \\ & + \frac{ab\pi}{\pi} \sum_{k=1}^{\infty} \left(-1 \right)^{\mathsf{k}} \operatorname{sh} \frac{k\pi d_{\mathsf{g}}}{d_{\mathsf{g}}} \operatorname{csch} \frac{k\pi a}{d_{\mathsf{g}}} \operatorname{sh} \frac{k\pi}{d_{\mathsf{g}}} \left(a - \mathsf{y} \right) \operatorname{csch} \frac{k\pi}{d_{\mathsf{g}}} \left(b - x \right) Z_{\mathsf{s}k-2} + \\ & + \frac{ab\pi}{\pi} \sum_{k=1}^{\infty} \left(-1 \right)^{\mathsf{k}} \operatorname{sh} \frac{k\pi}{d_{\mathsf{g}}} \left(a - d_{\mathsf{g}} \right) \operatorname{csch} \frac{k\pi a}{d_{\mathsf{g}}} \operatorname{sh} \frac{k\pi}{d_{\mathsf{g}}} \left(a - \mathsf{y} \right) \operatorname{csch} \frac{k\pi}{d_{\mathsf{g}}} \left(b - x \right) Z_{\mathsf{s}k-1} + \\ & + \frac{2C_{\mathsf{g}}}{d_{\mathsf{g}}} \sum_{k=1}^{\infty} \left(-1 \right)^{\mathsf{k}+1} \operatorname{ch} \frac{k\pi}{d_{\mathsf{g}}} \left(b - x \right) \operatorname{csch} \frac{k\pi d_{\mathsf{g}}}{d_{\mathsf{g}}} \operatorname{sin} \frac{k\pi \left(a - \mathsf{y} \right)}{d_{\mathsf{g}}} \right. \\ & + \frac{2C_{\mathsf{g}}}{d_{\mathsf{g}}} \sum_{k=1}^{\infty} \left(-1 \right)^{\mathsf{k}+1} \operatorname{sh} \frac{k\pi}{d_{\mathsf{g}}} \left(a - \mathsf{y} \right) \operatorname{csch} \frac{k\pi d_{\mathsf{g}}}{d_{\mathsf{g}}} \operatorname{cos} \frac{k\pi}{d_{\mathsf{g}}} \left(b - x \right) + \\ & + \frac{2C_{\mathsf{g}}}{d_{\mathsf{g}}} \sum_{k=1}^{\infty} \left(-1 \right)^{\mathsf{k}+1} \operatorname{sh} \frac{k\pi}{d_{\mathsf{g}}} \left(a - \mathsf{y} \right) \operatorname{csch} \frac{k\pi d_{\mathsf{g}}}{d_{\mathsf{g}}} \operatorname{cos} \frac{k\pi}{d_{\mathsf{g}}} \left(b - x \right) \times \\ & + \frac{2C_{\mathsf{g}}}{d_{\mathsf{g}}} \sum_{k=1}^{\infty} \left(-1 \right)^{\mathsf{k}+1} \operatorname{sh} \frac{k\pi}{d_{\mathsf{g}}} \left(a - \mathsf{y} \right) \operatorname{csch} \frac{k\pi d_{\mathsf{g}}}{d_{\mathsf{g}}}$$

$$\begin{split} &+\frac{P}{I}\left(d_{2}-2b\right)\left(a-d_{3}-d_{1}\right)\sum_{k=1}^{\infty}(-1)^{k+1}\mathrm{sh}\frac{k\pi}{d_{2}}\left(a-y\right)\times\\ &\times\mathrm{csch}\frac{k\pi d_{3}}{d_{2}}\cos\frac{k\pi}{d_{2}}\left(b-x\right)-\\ &-\frac{4d_{3}}{\pi^{2}}\frac{P^{\gamma}}{I\left(1+\gamma\right)}\left(a-y_{0}\right)\sum_{k=1,3}^{\infty}\frac{1}{k^{2}}\mathrm{ch}\frac{k\pi}{d_{3}}\left(x-b+d_{2}\right)\times\\ &\times\mathrm{csch}\frac{k\pi d_{2}}{d_{3}}\sin\frac{k\pi}{d_{3}}\left(a-y\right)-\\ &-\frac{2d_{3}^{2}}{\pi^{2}}\cdot\frac{P^{\gamma}}{I\left(1+\gamma\right)}\sum_{k=1}^{\infty}\frac{(-1)^{k}}{k^{2}}\mathrm{ch}\frac{k\pi}{d_{3}}\left(x-b+d_{2}\right)\mathrm{csch}\frac{k\pi d_{2}}{d_{3}}\sin\frac{k\pi}{d_{3}}\left(a-y\right)-\\ &-\frac{P^{\gamma}}{I\left(1+\gamma\right)}\cdot\frac{4d_{2}}{\pi^{2}}\left(a-d_{3}-y_{0}\right)\sum_{k=1,3}^{\infty}\frac{1}{k^{2}}\sin\frac{k\pi}{d_{2}}\left(a-y\right)\mathrm{csch}\frac{k\pi d_{3}}{d_{2}}\times\\ &\times\mathrm{cos}\frac{k\pi}{d_{2}}\left(b-x\right).\\ &b-d_{2}\!<\!x\!\leqslant\!b,\ a-d_{3}\!<\!y\!\leqslant\!a. \end{split}$$

§ 6. Числовой пример

В качестве примера решена задача изгиба стержня квадратного поперечного сечения с несимметричной квадратной полостью, т. е. для $a=2b,\ 2\,(b-d_2)=a-d_1-d_3$ при следующих относительных размерах и толщине стенок $d_2=d,\ d_1=2d_3=\frac{4}{3}\,d,\ a=2b=3d.$ В расчетах принято v=0,3.

Из решения бесконечной системы после применения лимитант [5] получены следующие оценки сверху и снизу для неизвестных Z_k :

$$\begin{split} 0,27813 \, \frac{C_0}{ab^2} \, -0,00111 \, \frac{P}{ab^3} \, \leqslant \, Z_1 \, \leqslant \, 0,27604 \, \frac{C_0}{ab^2} \, + \, 0,00826 \, \frac{P}{ab^3}; \\ 0,20908 \, \frac{C_0}{ab^2} \, + \, 0,02433 \, \frac{P}{ab^3} \, \leqslant \, Z_2 \, \leqslant \, 0,20606 \, \frac{C_0}{ab^2} \, + \, 0,03785 \, \frac{P}{ab^3}; \\ 0,29464 \, \frac{C_0}{ab^2} \, - \, 0,10763 \, \frac{P}{ab^3} \, \leqslant \, Z_3 \, \leqslant \, 0,29268 \, \frac{C_0}{ab^2} \, - \, 0,09885 \, \frac{P}{ab^3}; \\ 0,18512 \, \frac{C_0}{ab^2} \, - \, 0,05037 \, \frac{P}{ab^3} \, \leqslant \, Z_4 \, \leqslant \, 0,18223 \, \frac{C_0}{ab^2} \, - \, 0,03744 \, \frac{P}{ab^3}; \end{split}$$

$$\begin{aligned} &0,17171 \; \frac{C_0}{ab^2} - 0,00684 \; \frac{P}{ab^3} < Z_5 < 0,16858 \; \frac{C_0}{ab^2} + 0,00718 \; \frac{P}{ab^3}; \\ &0,15360 \; \frac{C_0}{ab^2} + 0,00006 \; \frac{P}{ab^3} < Z_6 < 0,14904 \; \frac{C_0}{ab^2} + 0,02052 \; \frac{P}{ab^3}; \\ &0,19102 \; \frac{C_0}{ab^2} - 0,06576 \; \frac{P}{ab^3} < Z_7 < 0,18778 \; \frac{C_0}{ab^2} - 0,05127 \; \frac{P}{ab^3}; \\ &0,13519 \; \frac{C_0}{ab^2} - 0,03953 \; \frac{P}{ab^3} < Z_8 < 0,13096 \; \frac{C_0}{ab^2} - 0,02057 \; \frac{P}{ab^3}; \\ &0,17166 \; \frac{C_0}{ab^3} - 0,05816 \; \frac{P}{ab^3} < Z_{\gamma_7>9} < 0,15696 \; \frac{C_0}{ab^2} + 0,00774 \; \frac{P}{ab^3}; \end{aligned}$$

где

$$0,11247 \frac{P}{b} \leqslant C_0 \leqslant 0,12319 \frac{P}{b}$$

Для координаты центра изгиба у $_c$ получены следующие оценки снизу y_c и сверху y_c :

$$0,44331 a < y_c < 0,47721 a$$
.

За расчетное значение координаты центра изгиба y_c^0 принято среднее арифметическое между нижней границей y_c и верхней границей y_c

$$y_c^0 = 0.4602 a$$

что дает ошибку расчета менее 3,6%.

По приближенной теории тонкостенных стержней замкнутого профиля (6) для этого случая находим

$$y_c^a = 0.3961 a$$
.

Погрешность приближенного значения y_c^* по сравнению с точным y_c^0 составляет 14 ${}^0/{}_0$.

В таблице 1 приведены значения касательных напряжений на нейтральной оси оу при v = 0, эпюра которых построена на фиг. 2.

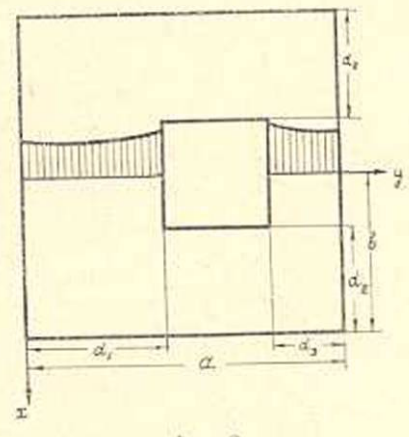


			Таблица 1
у	$\widetilde{X}_z / \frac{P}{a^z}$	$\overline{X}_{z}/\frac{P}{a^{z}}$	$X_z^0/\frac{P}{a^z}$
0	1,8215	2,0193	1,9206
$\frac{d_1}{4}$	1,8671	2,0045	1,9358
$\frac{d_1}{2}$	1,9912	2,0817	2,0364
$-\frac{3}{4}d_{1}$	2,1486	2,2859	2,2172
$\frac{7}{8} d_1$	2,2089	2,3564	2,2826
d_1	2,2064	2,4048	2,3056
$a-d_3$	2,4332	2,5955	2,5143
$a - \frac{7}{8} d_3$	2,4298	2,5842	2,5070
$a - \frac{3}{4} d_3$	2,4165	2,5555	2,4860
$a-\frac{d_3}{2}$	2,3717	2,4782	2,4250
$a = \frac{d_3}{4}$	2,3043	2,4432	2,3738
a	2,2737	2,4360	2,3549

Здесь \widetilde{X}_z — нижняя граница касательного напряжения; \overline{X}_z —верхняя граница, а $X_z^0 = \frac{\widetilde{X}_z + \overline{X}_z}{2}$.

Институт математики и механики АН Армянской ССР

Поступило 27 V 1958

Ն. Օ. Գուլթանյան

ԱՐՏԱԿԵՆՏՐՈՆ ՈՒՂՂԱՆԿՅՈՒՆ ԱՆՑՔՈՎ ՀԱՏՎԱԾՔ ՈՒՆԵՑՈՂ ՊՐԻԶՄԱՏԻԿ ՁՈՂԻ ԾՌՄԱՆ ԿԵՆՏՐՈՆԻ ՄԱՍԻՆ

цтфпфпьг

Հոդվածում դիտարկվում է արտակենտրոն ուղղանկյուն անցքով ուղդանկլուն հատվածը ունեցող պրիզմատիկ ձողի ծոման ինդիրը։

Ներմուծելով օժանդակ ֆունկցիաներ, խնդիրը բերվում է գծալին հավասարումների անվերջ սիստեմների լուժմանը։ Ապացուցվում է այդ սիստեմների լրիվ ռեդուլյարությունը։ Լարումների և ծոման կենտրոնի կոորդինատների համար ստացված են բանաձևեր։ Թվալին հաշվումները կատարված են արտակենտրոն քառակուսի անցքով քառակուսի հատվածք ունեցող պրիդմատիկ ձողի ծոման խնդրի համար։

ЛИТЕРАТУРА

- 1. Абрамян Б. Л. ПММ, т. XIV, в. 3, 1950.
- 2. Арутюнян Н. Х. ДАН АрмССР, т. 1Х, № 2, 1948. ПММ, т. ХІП, № 1, 1949.
- 3. Лейбензон Л. С. Курс теории упругости. Гостехиздат, М.-Л., 1947.
- 4. Гринберг Г. А. Изв. АН СССР, серня физическая, 1946, т. Х. вып. 2.
- Канторович Л. В. и Крылов В. И. Приближенные методы высшего знализа, ОТНИ, М., 1949.
- 6. Уманский А. А. Кручение и изгиб тонкостенных авиаконструкций. Оборонгиз, 1939.